

## بررسی شاخص‌های جذب و پالایش تراپری ای کولاوی در سیستم جریان ترجیحی

سحر اخوان<sup>۱</sup>، سهیلا ابراهیمی<sup>۲\*</sup>، مریم نواییان<sup>۳</sup>، علی مجتهدی<sup>۴</sup>، محمود شبانپور<sup>۵</sup> و علیرضا موحدی نایینی<sup>۶</sup>

- ۱- دانشجوی دکتری خاکشناسی دانشکده مهندسی آب و خاک دانشگاه علوم کشاورزی و منابع طبیعی گرگان، گرگان، ایران
- ۲- عضو هیئت علمی گروه خاکشناسی دانشکده مهندسی آب و خاک دانشگاه علوم کشاورزی و منابع طبیعی گرگان، گرگان، ایران
- ۳- عضو هیئت علمی گروه آب دانشکده کشاورزی دانشگاه گیلان، رشت، ایران
- ۴- عضو هیئت علمی گروه میکروبیولوژی دانشکده پزشکی دانشگاه علوم پزشکی گیلان، رشت، ایران
- ۵- عضو هیئت علمی گروه خاکشناسی دانشکده کشاورزی دانشگاه گیلان، رشت، ایران
- ۶- عضو هیئت علمی گروه خاکشناسی دانشکده مهندسی آب و خاک دانشگاه علوم کشاورزی و منابع طبیعی، گرگان، ایران

چکیده	تاریخچه مقاله
<p>ماکروپورهای خاک مهم‌ترین عامل انتقال پساب کودها و میکرووارگانیسم‌ها از جمله باکتری‌های شاخص مدفوعی به خاک‌های عمیق‌تر و حتی به آب‌های زیرزمینی می‌باشند. در این راستا، پژوهش حاضر با هدف مطالعه تراپری ترجیحی و تکهداشت باکتری اشرشیاکولاوی به عنوان یک باکتری شاخص و متداول در کودهای حیوانی در شرایط استفاده از آب شور تعريف گردید. مطالعات آزمایشگاهی در سیستم جریان ترجیحی با ماکروپورهای مصنوعی با قطرهای مختلف (۱ و ۲ سانتی‌متر) و تیمار شوری مختلف آب (۱، ۲ و ۴ دسی‌زیمنس بر متر) تحت جریان اشباع در سال ۱۳۹۵ انجام شد. طرح آماری مورد استفاده، فاکتوریل دو فاکتوره در قالب طرح کاملاً تصادفی بود. نتایج نشان داد که اثر متقابل شوری و قطر ماکروپور بر میانگین غلظت خروجی (<math>C_{av}</math>) ضریب پالایش باکتری (<math>f_i</math>)، شاخص نسبی جذب باکتری (<math>S_R</math>) و عمق ییشینه پیش‌بینی شده انتقال باکتری (<math>Z_{max}</math>) در سطح آماری پنج درصد معنی دار بود. تیمار شوری ۴ دسی‌زیمنس بر متر و بدون قطر ماکروپور ییشترین مقدار پالایش پالایش (۰/۰۱ کلنی بر میلی لیتر) را نشان دادند، به طوری که با افزایش قدرت یونی به میزان ۲ برابر، از میزان پالایش ۳۰ درصد کاسته شد. به طور کلی نتایج نشان داد که عامل اصلی انتقال باکتری وجود جریان ترجیحی در اثر پیوستگی ماکروپور است، اما شوری به عنوان یک عامل بازدارنده با افزایش قدرت یونی محلول خاک، میزان پالایش باکتری را کاهش داد.</p>	<p>دریافت: ۱۳۹۶/۱۰/۲۵ پذیرش نهایی: ۱۳۹۷/۱۰/۰۳</p> <p>کلمات کلیدی: پالایش باکتری، جریان ترجیحی شاخص جذب باکتری، ماتریکس، ماکروپور، شوری</p> <p>* عهده دار مکاتبات</p> <p>Email: sohebrahimi@gmail.com</p>

فضالاب، دامداری‌ها و کودهای دامی می‌توانند منجر به

آلودگی آب‌های سطحی و زیرزمینی شود. در کشاورزی

برای بهبود حاصل‌خیزی خاک از کودهای گاوی استفاده

### مقدمه

راهیابی آلاینده‌ها به منابع آبی از طریق فعالیت‌های انسانی

مانند نشت و نشر از محل جمع آوری زباله و چاههای

نشان داد که عامل اصلی انتقال باکتری در خاک‌های دست‌نخورده، جریان‌های ترجیحی (ماکروپوری) ناشی از پیوسته‌بودن ماکروپور و درز و ترک‌های موجود در خاک می‌باشد و بدین‌سان در شرایط جریان اشباع، باکتری بیشتری نسبت به جریان غیرآشباع در خاک جا به جا می‌شود. هم‌چنین مطالعات آزمایشگاهی و عددی ونگ و همکاران (۱۶) نشان داد که طول ماکروپور مصنوعی تأثیر زیادی در انتقال ترجیحی ای کولاوی، به‌ویژه در شرایط قدرت یونی بالا دارد. در قدرت یونی پایین انتقال گستردتر در مسیر ترجیحی و زمان زودتر در رسیدن برای ای کولاوی نسبت به بروماید به عنوان یک نتیجه از محدودیت اندازه مشاهده شد (۱۶). در پژوهش دیگری تخمین سرعت مهاجرت باکتری‌ها در پروفیل خاک با فرضیه عبور عملده باکتری‌ها از ماکروپورها مطابقت داشت. سرعت انتقال باکتری سریع‌تر از میانگین سرعت منافذ آب بود. انتقال در ماکروپور احتمالاً در خاک‌های مرطوب اتفاق می‌افتد اما به خاک‌هایی با مقدار آب اولیه زیاد محدود نمی‌شود و باکتری‌های معلق اختصاصاً از قطر منافذ بزرگ‌تر سریع‌تر عبور می‌کند (۱۴). صفادوست و همکاران<sup>۳</sup> (۱۱) نقش احیا ساختمان خاک با هوازدگی فیزیکی را با آزمایش ستونی برای انتقال ای کولاوی و بروماید بررسی کردند. نتایج آن‌ها نشان داد که شکل متعادل و مقارن منحنی رخنه از ستون‌های خاک نشان می‌دهد که عمدتاً آبشویی از طریق جریان ماتریس رخ داده است. هدف اصلی این تحقیق چگونگی وضعیت تراپری شاخص آلدگی (ای کولاوی) در حضور جریان ترجیحی با قطعه و سطوح مختلف شوری آب در ستون‌های آزمایشی و پیش‌بینی شمای نگهداشت آلاینده مورد بررسی در عمق‌های مختلف بود.

## مواد و روش‌ها

در پژوهش حاضر، مطالعات آزمایشگاهی به منظور بررسی انتقال باکتری ای کولاوی، در سیستم جریان ترجیحی با ماکروپورهای مصنوعی با قطرهای مختلف (صفه، ۱ و ۲ سانتی‌متر) و تیمار شوری آب مختلف (هدایت الکتریکی ۱،

۲ و ۶ μm<sup>۱</sup>) می‌شود. اشرشیاکولاوی معمول‌ترین کلیفرم روده‌ای کود گاوی است که به عنوان شاخص آلدگی آب‌های زیرزمینی در پژوهش‌ها مورد بررسی قرار می‌گیرد، زیرا به راحتی شناسایی و شمارش شده و آب‌دوست و قویا با بار منفی است. اشرشیاکولاوی یک باکتری گرم منفی، میله‌ای شکل (۱۱-۲۶ μm<sup>۲</sup>) تکی یا جفتی از نظر رده‌بندی جز خانواده انتربوکتریاسه<sup>۱</sup> است. در بین میکرووارگانیسم‌ها فقط اشرشیاکولاوی به طور خاص منشا مدفعی دارد. بسیاری از گونه‌های اشرشیاکولاوی از گانیسم‌های بی‌ضررند، در حالی که بعضی از آن‌ها عامل بیماری هستند و می‌توانند از عفونت با پاتوژن منتج به بیماری روده‌ای، عفونت ادراری، و مسمومیت و منتشرت شوند. کلراید نیز به عنوان ردیاب شیمیایی بدون واکنش به کاربرده می‌شود. از ردیاب کلراید برای اندازه گیری منحنی رخنه محلول آبی و انتقال ردیاب باکتری یا ویروس استفاده می‌شود. از آن‌جا که بخش عمدۀ مساحت ایران از نظر اقلیمی جز مناطق خشک و نیمه خشک محسوب می‌گردد که سبب گردیده استفاده از آب‌های شور و نامتعارف اهمیت بالایی پیدا کند (۴). اگر چه عملکرد کاربرد آب شور نسبت به شرایط آب غیرشور اختلاف معنی‌داری را نشان می‌دهد، ولی در شرایط اقلیمی کشور که کمبود آب هم‌اکنون یکی از موانع جدی تولید به حساب می‌آید، استفاده از این منابع آبی گریزناپذیر است. نکته قابل توجه در کاربرد آب‌های شور حفظ پایداری کشاورزی در درازمدت است (۶). در مورد چگونگی تأثیر آب‌های شور بر تخریب یا بهبود ویژگی‌های فیزیکی، شیمیایی و بیولوژیکی خاک تحقیقات فراوانی انجام گرفته و نتایجی متفاوت و گاه متضاد ارائه شده است. آیاری با آب شور بدون مدیریت آ بشویی در اکثر موارد سبب تخریب شده است (۱۰). شوری یکی از عوامل مهم استرس برای میکرووارگانیسم‌ها به حساب می‌آید. کاهش کسر تنفسی، کاهش میزان دی‌اکسید کربن، کاهش فعالیت آتنیمی و هم‌چنین کاهش بیومس میکروبی در اثر شوری اتفاق می‌افتد (۱۳). هم‌چنین پژوهش‌های مختلف از جمله ونگ و همکاران<sup>۲</sup> (۱۵)

1- Enterobacteriace

2- Wang et al.

سوم ارتفاع ستون را پر و یک لوله پلاستیکی به طول ۳۰ سانتی متری با قطر خارجی مورد نظر (۱ و ۲ سانتی متر) در مرکز ستون کار گذاشته شد. شن ریز به تدریج به ماتریکس ستون (خارج از لوله پلاستیکی) اضافه شد. سپس آب اضافی در لوله پلاستیکی از کف، زهکش شد. لوله با دقت بدون اختلال در اطراف ساختار شن از ستون بیرون کشیده شد و یک حفره با قطر ۲ سانتی متر در مرکز ستون به جای گذاشت. در این مرحله حفره تا ارتفاع بیست سانتی متر با شن درشت با استفاده از یک قیف پر شد، تا ساختار ماکروپور جریان ترجیحی مورد نظر ایجاد شود. لایه نازکی از شن درشت بر سطح ستون خاک برای جلوگیری از تخریب ساختمان خاک قرار داده شد.

۲ و ۴ دسی زیمنس بر متر) تحت جریان اشباع در نیمه اول سال ۹۵ انجام شد. ویژگی های اولیه خاک و نمای افقی و عمودی ستون های آزمایشی به ترتیب در جدول ۱ و شکل ۱ آورده شده است.

قابل ذکر است که جداول بایستی در اولین مکان ممکن پس آزمایش های انتقال ترجیحی در مخازنی از جنس پی وی سی با طول و قطر داخلی مشخص (به ترتیب ۲۰ و ۱۰ سانتی متر) انجام شد. از سمباده جهت زبر کردن دیواره داخلی سیلندر قبل از پر کردن ستون خاک برای جلوگیری از جریان سریع از دیواره ستون استفاده شد و کف ستون با استفاده از تور سیمی و یک لایه سنگریزه زهکش شد.

سیستم جریان ترجیحی با استفاده از دو اندازه شن شامل لوم شنی و شن لومی در ستون به صورت زیر آمده و طراحی شد. ابتدا با آب مقطر (اتوکلاو شده) حدود یک

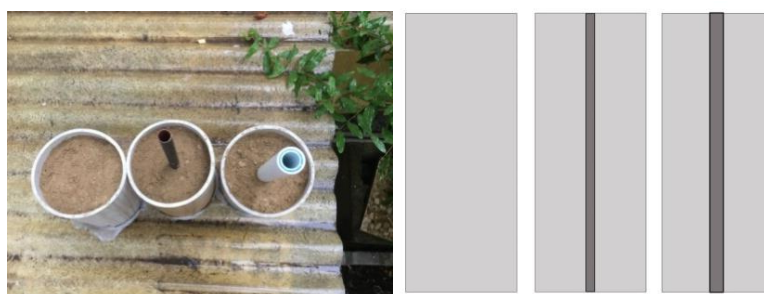
#### جدول(۱) ویژگی های اولیه خاک ستون های آزمایشی

Table(1) The primary characteristics of the soil column test

نوع بستر Material	حجم آب منفذی Pore volume (PV) (cm <sup>3</sup> )	سرعت جریان آب منفذی (v) (cm h <sup>-1</sup> )	سرعت جریان مانندگار Stable flow rate (q) (cmh <sup>-1</sup> )	رطوبت حجمی خاک Volumetric soil moisture (θ) (%)	بافت خاک Soil Texture
ماکروپور Macrospore	737.9	14.3	4.70	0.47	Loamy Sand (LS)
ماتریکس Matrix	926.3	18.2	7.04	0.59	Sandy Loam (SL)

\*\*، \* و ns به ترتیب نشان دهنده اختلاف معنی دار در سطح یک درصد، پنج درصد و اختلاف غیرمعنی دار است.

\*\*, \* and ns, respectively, indicate a significant difference P<0.01 , P<0.05 and the non-significant difference.



شکل(۱) نمای افقی شماتیک طراحی ستون و نمای عمودی ستون های آزمایشی

Figure(1) Schematic and vertical view of columns

نمونه‌های پساب در زمان‌های صفر، ۱، ۲، ۳، ۵، ۷، ۱۰، ۱۲، آوری شد. آزمایش آبشویی با ۳ تکرار برای هر تیمار انجام شد. سپس غلظت‌های باکتری و کلر آنالیز شد. سوسپانسیون باکتری ورودی با روش استاندارد کدورت نیم مکفارلند از طریق افروزدن کلرید هیدرات باریم ۱/۱۷۵ درصد (۰/۰۴۸ مولار) به ۹۹/۵ میلی لیتر اسیدسولفوریک ۱ درصد (۰/۳۶ مولار) تهیه شد. حجم نمونه گیری در هر بار ۵ میلی لیتر بود. به منظور اندازه گیری باکتری در نیمرخ خاک پس از پایان آزمایش انتقال باکتری، ستون خاک به ۳ لایه تقسیم و برش زده شد. نمونه‌ها از ۳ عمق و در هر عمق از ۲ منطقه ماکروپور و ماتریکس برداشته شد. یک گرم از هر نمونه با ۹ میلی لیتر محلول کالگون (هگزا متافسفات سدیم) ۰/۲ درصد به لوله سانتریفیوز ۱۵ میلی متری اضافه شد. برای جداسازی باکتری موجود در فاز مایع از فاز جامد هر نمونه در دستگاه میکسر ورتكس به مدت ۱۵ دقیقه بهم زده شد. برای تعیین غلظت باکتری در محلول رویی به دست آمده از روش شمارش زنده استفاده شد.

سوسپانسیون باکتری خروجی با رقت‌های  $10^{-1}$  و  $10^{-2}$  تهیه شد. پس از رقیق کردن نمونه‌ها، ۰/۱ میلی لیتر از محلول رقیق شده درون پلیت‌های دارای محیط کشت EMB کشت شد. غلظت‌های باکتری در پساب با شمارش پلیت‌ای کولای در آگار EMB بعد از ۲۴ ساعت انکوپاسیون در دمای ۳۷ درجه تخمین زده شد و سپس غلظت باکتری در آب خروجی محاسبه و با واحد کلنی در میلی لیتر ( $\text{CFU ml}^{-1}$ ) یان شد. هم چنین شمارش باکتری در نیمرخ خاک به روش اندازه گیری غلظت کلراید، هدایت الکتریکی هر شد. برای اندازه گیری غلظت کلراید، هدایت الکتریکی هر نمونه پساب خروجی به روش تیتراسیون با نیترات نقره اندازه گیری شد. در این پژوهش منحنی‌های رخنه<sup>۱</sup> (BTC) باکتری به صورت غلظت خروجی (C) بر حسب CFU ml<sup>-1</sup> و غلظت نسبی باکتری در برابر زمان با استفاده از نرم‌افزار Excel رسم شد. هم‌چنین طرح آماری مورد استفاده،

در پایان ستون با آب از پایین اشباع شد تا فشار مرزپایین در صفر سانتی‌متر کنترل شود. محلول‌های مورد نظر که به تفصیل در بند ۲ توضیح داده شده‌اند، از مرز بالای ستون ناهمگن با سرعت جریان ثابت اضافه شدند. ستون در طول آزمایش با حفظ ارتفاع آب در بالای ستون (پنج سانتی‌متر) در مرز بالا اشباع گردید.

برای اندازه گیری حجم آب منفذی در شرایط اشباع ابتدا چگالی ظاهری خاک با استفاده از ستون آماده شده در تیمارهای مختلف اندازه گیری شد. سپس رطوبت وزنی خاک با نمونه گیری از دو لایه ۰-۱۲/۵ و ۲۰-۱۲/۵ سانتی‌متر خاک درون سیلندر به روش آون اندازه گیری و رطوبت حجمی خاک‌ها ( $\theta_{\text{V}}$ ) محاسبه گردید. سپس حجم آب منفذی ستون خاک در شرایط اشباع (PV<sup>۱</sup>) طریق رابطه محاسبه شد:

$$PV = \theta_{\text{v}} \times V_t \quad (1)$$

در این مطالعه برای بررسی اثر سطوح مختلف شوری آب، ردیاب بیولوژیکی و شیمیایی در شرایط اشباع پایدار با جریان ترجیحی به صورت زیر مورد استفاده قرار گرفت. آزمایش آبشویی در دمای ۲۰ درجه در طی چند فاز انجام شد. ابتدا قبل از شروع آزمایش انتقال میکروبی، دو حجم منفذی (PV<sub>S</sub>) محلول NaCl (تیمار شوری) انتخاب و به ستون استریل با استفاده از سرم فیزیولوژی استریل اضافه شد و به شن اجازه داده شد تا با محلول به تعادل برسد (فاز صفر). آزمایش‌های انتقال میکروبی در دو فاز با شرایط مرزی و سرعت جریان مشابه فاز صفر انجام شد. به این صورت که ابتدا یک پالس سوسپانسیون میکروبی به ستون با سرعت ثابت اضافه شد (فاز ۱). سپس محلول NaCl در ستون با سرعت جریان و قدرت یونی مشابه فاز ۱ تا زمانی که غلظت میکروب پساب به مقدار اولیه برگرد اضافه شد (فاز ۲). سوسپانسیون ای کولای به طور یکتاخت در سطح بالای ستون خاک استریل در کنار شعله با استفاده از سرنگ استریل اسپری شد. شستشوی ستون‌های خاک به مدت یک ساعت ادامه یافت و

ورودی به سطح بین منحنی ورودی ( $C_0$ ) و منحنی رخنه (C) در هر دامنه زمانی متواالی که نمونه‌گیری انجام شده بود به دست آمد. تفاوت غلظت باکتری ورودی به سطح خاک و غلظت خروجی از لایه‌های نمونه‌گیری شده بیان‌گر میزان باکتری است که در خاک تحت تأثیر فرآیندهای جذب قرار گرفته است. در آزمایش حاضر از آنجا که میزان رشد و مرگ و میر باکتری‌ها قابل اندازه گیری نیست و به دلیل نسبتاً یکسان بودن این نرخ در آزمایش‌های تحت شرایط یکسان، برای برآورد میزان باکتری پالایش یافته در طول زمان آب‌شویی خاک، از رابطه (۴) برای محاسبه شاخص نسبی جذب باکتری ( $S_R$ ) استفاده شد:

$$S_R = \frac{\int_0^{V_{max}} [C_0 - (C - C_b)] dv}{\int_0^{V_{max}} C_0 dv} \quad (4)$$

$$Z_{max} = \ln(C_{0(av)}) \times \frac{1}{\lambda_f} \quad (5)$$

که در آن  $Z$  عمق بیشینه پیش‌بینی شده انتقال باکتری ( $Z_{max}$ ) اشريشياکولای در خاک را بر اساس رابطه ۴ برآورد می‌کند که شاخصی از پیوسته بودن ماکروپور خاک می‌باشد. (۱۴)

## نتایج و بحث

در جدول ۲ تجزیه واریانس اثر تیمار شوری و قطر ماکروپور و همچنین اثر متقابل شوری و قطر ماکروپور بر میانگین غلظت خروجی ( $C_{av}$ )، ضریب پالایش باکتری ( $\lambda_f$ )، شاخص نسبی جذب باکتری ( $S_R$ ) و عمق بیشینه پیش‌بینی شده انتقال باکتری ( $Z_{max}$ ) در ستون‌های خاک آورده شده است. نتایج نشان داد که اثر متقابل شوری و قطر ماکروپور بر شاخص‌های مورد بررسی در سطح آماری پنج درصد معنی دار بود.

نتایج اثر متقابل شوری و قطر ماکروپور بر میانگین غلظت خروجی نشان داد که باکتری در حین انتقال، تحت تأثیر تیمارهای بررسی شده قرار گرفته است، به طوری که با افزایش شوری و کاهش قطر ماکروپور، میانگین غلظت خروجی باکتری کاهش یافت (شکل ۲). همان‌گونه که شکل ۲ نشان می‌دهد در تیمار با قطر ماکروپور ۲ و شوری ۱ دسی زیمنس بر متر وجود جریان ماکروپوری بیشتر، موجب

فاکتوریل دو فاکتوره در قالب طرح کاملاً تصادفی با سه تکرار بود. سطوح شوری (۳ سطح) به عنوان فاکتور یا تیمار اول و قطر ماکروپورها به عنوان فاکتور یا تیمار دوم (۳ سطح) در نظر گرفته شد. متغیرهای مورد بررسی میانگین غلظت خروجی ( $C_{av}$ )، ضریب پالایش خاک<sup>۱</sup> ( $\lambda_f$ ، شاخص نسبی جذب باکتری ( $S_R$ ) و عمق بیشینه پیش‌بینی شده انتقال باکتری ( $Z_{max}$ ) بود. برای اندازه گیری سطح زیر منحنی‌های مذکور از روش Simpson در نرم افزار اکسل استفاده شد. داده‌های به دست آمده توسط نرم افزار SAS<sup>۲</sup> تجزیه و تحلیل شده و مقایسه میانگین‌ها به روش LSD<sup>۳</sup> انجام گرفت. میانگین غلظت خروجی ( $C_{av}$ ) از ستون خاک از طریق محاسبه اختلاف بین سطح زیر منحنی رخنه و سطح زیر منحنی تیمار شاهد و تقسیم حاصل آن بر کل حجم آب خروجی به دست آمد (رابطه ۲)

$$C_{av} = \frac{\int_0^{V_{max}} (C - C_b) dv}{V_{max}} \quad (2)$$

که در این معادله  $V_{max}$  کل حجم آب خروجی در طول آزمایش آب‌شویی بر حسب میلی لیتر  $C$  میانگین غلظت باکتری در محلول خاک و  $C_b$  میانگین غلظت باکتری در پساب تیمار شاهد ( $CFU ml^{-1}$ ) می‌باشد.

ضریب پالایش باکتری اشريشياکولي در ستون‌های آزمایشی بر اساس معادله ماتس و همکاران<sup>۴</sup> (۸) محاسبه شد:

$$\lambda_f = Ln \left( \frac{C_0}{C - C_n} \right) \times \frac{1}{Z} \quad (3)$$

که در این رابطه،  $\lambda_f$  ضریب پالایش باکتری در ستون‌های آزمایشی ( $C_0$ ،  $m^{-1}$ )، میانگین غلظت ورودی باکتری به سطح یا لایه خاک ( $C$ )،  $CFU ml^{-1}$  میانگین غلظت باکتری در محلول خاک در عمق‌های نمونه برداری شده ( $C_n$ ) ( $CFU ml^{-1}$ ) و  $C_n$  ( $CFU ml^{-1}$ ) میانگین غلظت باکتری بومی خاک ( $CFU ml^{-1}$ ) هستند. با توجه به استریل بودن ستون خاک غلظت باکتری بومی خاک ( $C_n=0$ ) در نظر گرفته شد و ضریب پالایش از تقسیم سطح زیر منحنی

1- Filtration coefficient

2- Statistical analysis system

3- Mathess et al.

## اخوان و همکاران: بررسی شاخص‌های جذب و پالایش...

داده است و در نتیجه باکتری بیشتری نسبت به ستون شاهد (بدون قطر ماکروپور) عبور کرده است، اما تیمار شوری به عنوان یک عامل بازدارنده مانع از انتقال بیشتر باکتری گردیده است.

انتقال بیشتر باکتری در این ستون خاک شده است (غلظت خروجی ۰/۷۴ کلی بر میلی لیتر). وجود ماکروپور و پیوستگی این منافذ در ستون با قطر ۲ سانتی‌متر به علت داشتن تخلخل کل زیاد حرکت باکتری را سرعت بخشیده و خروجی شاخص آلدگی پساب را افزایش

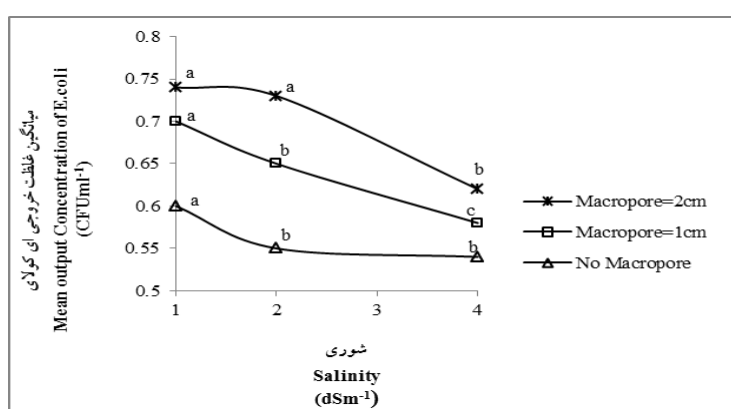
جدول(۲) منابع تغییر و اثر آن‌ها بر میانگین غلظت خروجی ( $C_{av}$ )، ضریب پالایش باکتری ( $S_R$ ) و عمق بیشینه پیش‌بینی شده انتقال باکتری ( $Z_{max}$ ) در ستون‌های خاک

**Table(2) Resource changes and their effect on the average output concentration ( $C_{av}$ ), filtration coefficient ( $\lambda_f$ ), relative adsorption index ( $S_R$ ), and maximum depth ( $Z_{max}$ ) in soil columns**

منبع تغییر Source Change	درجه آزادی Degrees of freedom	میانگین غلظت خروجی average output concentration ( $C_{av}$ )	میانگین مربعات (Mean Square)		
			ضریب پالایش filtration coefficient ( $\lambda_f$ )	شاخص نسبی جذب relative adsorption index ( $S_R$ )	عمق بیشینه maximum depth ( $Z_{max}$ )
شوری (Salinity)	2	0.012*	0.03385**	0.0395*	18.38*
قطر ماکروپور (Diameter of Macropore)	2	0.031**	0.01062*	0.0516*	2.39*
شوری × قطر ماکروپور (Salinity× Diameter of Macropore)	4	0.0046*	0.00259*	0.0039*	0.10*
خطا (Error)	18	0.0059	0.0030	0.0006	0.0041
ضریب تغییرات (%) (CV)		0.08	0.63	0.04	0.71

\* و \*\* به ترتیب نشان‌دهنده اختلاف معنی‌دار در سطح یک درصد، پنج درصد و اختلاف غیرمعنی‌دار است.

\*\*, \* and ns, respectively, indicate a significant difference  $P<0.01$ ,  $P<0.05$  and the non-significant difference



شکل(۲) مقایسه میانگین اثر متقابل قطر ماکروپور و شوری بر غلظت خروجی باکتری ای کولای

**Figure(2) Mean comparison of the interaction between the macropore diameter and salinity on mean output concentration of E.coli**

یونی به میزان ۲ برابر از میزان پالایش ۳۰ درصد کاسته شد. پالایش فیزیکی زمانی رخ می دهد که ذرات سوسپانسیون قادر نباشند از منافذ با قطر کمتر از قطر ذره عبور نمایند. برخی پژوهش‌ها نشان داده اند که پالایش فیزیکی زمانی اتفاقی می افتد که نسبت قطر کلوبید به میانگین قطر ذرات خاک بیش از  $0/5$  درصد باشد (۱). وقتی که این نسبت به بیش از  $8/8$  بر سد مقدار پالایش بسیار چشم‌گیر خواهد بود. البته این مقادیر برای محیط‌های متخلخل همگن فاقد ساختمان، ارائه شده اند. منافذ درشت ایجاد شده در خاک دارای ساختمان، امکان انتقال باکتری را با حداقل پالایش فیزیکی فراهم می کند (۹).

### شاخص نسبی جذب باکتری ( $S_R$ )

اثر متقابل تیمار شوری و قطر ماکروپور بر شاخص نسبی جذب باکتری در شکل ۴ نشان داده شده است. نتایج نشان داد که با افزایش سطح شوری و کاهش قطر ماکروپور شاخص نسبی جذب افزایش یافت. به طوری که تیمار بدون قطر با شوری  $4/4$  دسی زیمنس بر متر بیشترین مقدار شاخص نسبی جذب ( $0/96$ ) را به خود اختصاص داد. این نتایج با یافته‌های ونگ و همکاران (۱۵) هماهنگی داشت. زمانی رسو ب باکتری رخ می دهد که بین چگالی باکتری و آب تفاوت وجود داشته باشد. اگر باکتری چگالتراز آب باشد و ویژگی‌های جريان به گونه ای باشد که شرایط برای رسو ب گذاري بهتر از تعليق باشد در اين حالت ممکن است باکتری در بخش ساكن خاک رسو نماید. برای محاسبه رسو ب باکتری از قانون استوکس استفاده می شود. نتایج برخی پژوهش‌ها نشان داده است که رسو ب تقلی نقش مهمی در پالایش ذرات با قطر بیش از  $5$  میکرومتر دارد (۱۷)، این در حالی است که باکتری ای کولای قطر کمتری دارند. بنابراین می توان گفت نقش رسو ب در پالایش باکتری در این آزمایش ناچیز بوده است. هم‌چنین به علت سرعت کمتر آب در منافذ ریز و تجمع باکتری‌ها سبب گیرافتدان آن‌ها در منافذ ماتریکس خاک می شود و همین امر سبب بسته شدن مسیر حرکت باکتری‌های دیگر می شود که در نتیجه باکتری پیشتری پالایش می گردد.

کاهش غلظت باکتری خروجی از ستون‌های خاک تیمار شده با شوری زیاد می تواند به علت نقش سدیم کلراید در نگهداشت باکتری در قدرت‌های یونی بالا دانست. سدیم به خاطر شاع آپوشی زیاد، در جذب باکتری‌ها نقش بسزایی دارد و حرکت آب به سمت پایین را کند می کند. البته این انتقال تا حدی تابع قدرت یونی غلظت نمک‌هاست. در قدرت یونی بالا، لایه دوگانه کوچک‌تر می شود، بنابراین حرکت کلوبید در قدرت یونی بالا کم می شود و جذب روی سطوح و منافذ بیشتر می گردد. از طرفی بخشی از باکتری‌های انتقال یافته در مسیر جریان‌های ترجیحی در شوری‌های زیاد از این می روند که نقش شوری در حذف میکروب و کاهش آسودگی منابع آب را تایید می کند. نتایج فوق با گزارش صفادوست و همکاران (۱۶) مطابقت داشت.

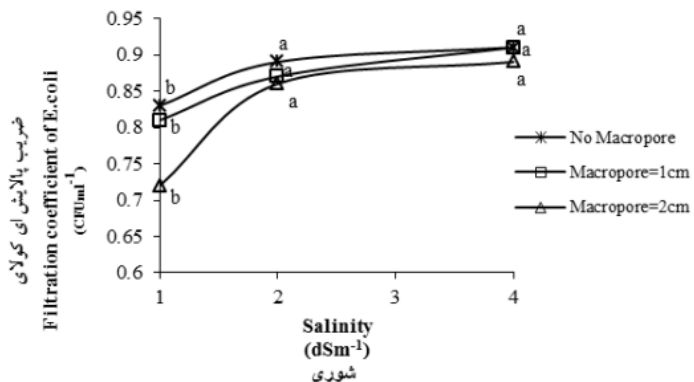
### ضریب پالایش باکتری ( $\beta_R$ )

ضریب پالایش باکتری بینگر توانایی محیط متخلخل خاک در جذب شیمیایی باکتری‌ها روی سطوح ذرات و گیر افتادن آن‌ها در منافذ ریز است. چندین مکانیزم انتقال پالایش باکتری را در خاک تحت شرایط جریان اشباع کنترل می کند. از جمله این مکانیزم‌ها می توان انتقال شامل جریان توده‌های و انتشار، غیرفعال شدن، تبادل باکتری بین فاز مایع و جامد یعنی جذب و واجدب و پالایش فیزیکی<sup>۱</sup> را نام برد (۲). اثر متقابل تیمار شوری و قطر ماکروپور بر ضریب پالایش در شکل ۳ آورده شده است. سطح منحنی ضریب پالایش باکتری در تیمار بدون قطر بالاتر از سایر تیمارهای آزمایشی بود.

به دلیل منافذ ریز پیوسته ماتریکس خاک جذب<sup>۲</sup> شیمیایی باکتری بیشتری در سطوح و منافذ ریز خاک اتفاق افتاد. در حالی که تیمار شوری  $1$  دسی زیمنس بر متر با قطر  $2$  سانتی متر کمترین مقدار پالایش ( $0/72$  کلی بر میلی لیتر) را از خود نشان داد. در حالی که تیمار شوری  $4$  دسی زیمنس بر متر و بدون قطر ماکروپور بیشترین مقدار پالایش ( $0/01$  کلی بر میلی لیتر) را داشت. به طوری که با افزایش قدرت

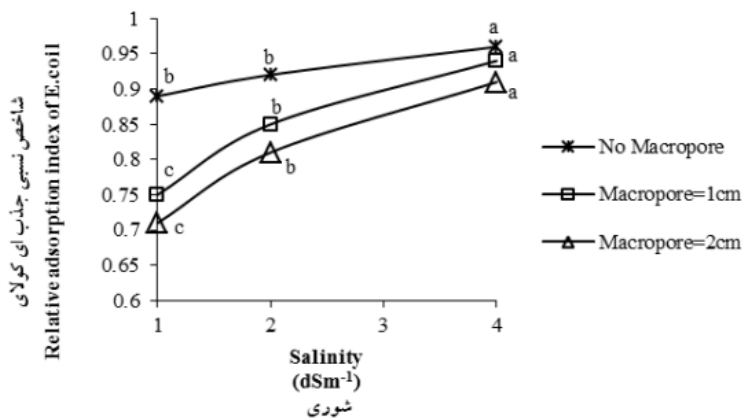
1- Straining

2- Retention



شکل(۳) مقایسه میانگین اثر متقابل قطر ماکروپور و شوری بر ضریب پالایش ای کولای

Figure(3) Mean comparison of the interaction between the macropore diameter and salinity on filtration coefficient of E.coli

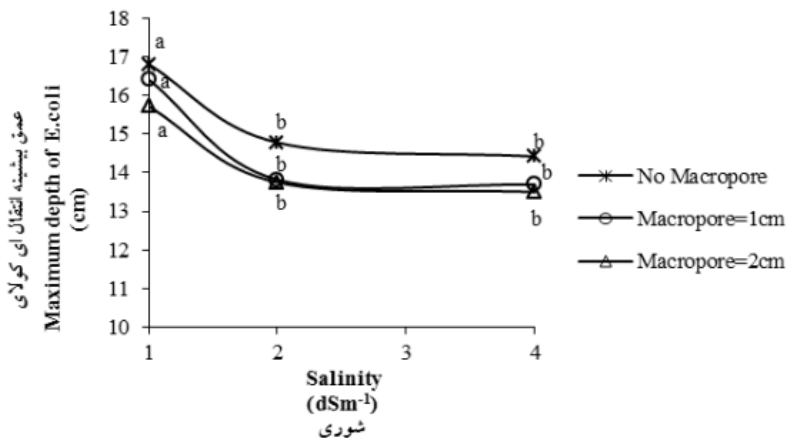


شکل(۴) مقایسه میانگین اثر متقابل قطر ماکروپور و شوری بر شاخص نسبی جذب ای کولای

Figure(4) Mean comparison of the interaction between the macropore diameter and salinity on the relative adsorption index of E. coli

پالایش باکتری را در لایه اول و شرایط اشباع مشاهده کردند (۳). نتایج محققین دیگر نشان داد که طول ستون تاثیر معنی-داری بر روی پیک غلظت ای کولای یا بازیابی کامل سدید نداشت، که یانگر نگهداشت باکتری در لایه بالایی ستون شن است. نقش لایه روین خاک در پالایش باکتری برجسته بود ولی وجود جریان‌های ترجیحی بهویژه در زمان‌های آغازین باعث انتقال باکتری‌ها تا لایه دوم شد (۵). نتایج فرخیان و همکاران (۲) نشان داد که نگهداشت باکتری در تمامی ستون‌های خاک بسیار بیشتر از مقدار انتقال یافته بود.

**عمق پیشینه پیش‌بینی شده انتقال باکتری ( $Z_{max}$ )**  
تیمار موثر بر عمق پیشینه پیش‌بینی شده انتقال باکتری، اثر متقابل شوری و قطر در سطح احتمال ۵ درصد بود (جدول ۲)، که بیان گر اثر قابل توجه شوری بر پالایش و انتقال باکتری است. عمق پیشینه پیش‌بینی شده انتقال باکتری در تیمار بدون قطر با شوری ۱ دسی زیمنس بر متر بیشترین مقدار (۱۶/۸۱ سانتی متر) را داشت (شکل ۵). به نظر می‌رسد نقش لایه‌های زیرین در پالایش باکتری بیشتر از لایه سطحی بود. همچنین افزایش قدرت یونی باعث انتقال بیشتر باکتری از محیط ماتریکس و ماکروپور شد. این نتایج مشابه با نتایج فرهنگی و همکاران<sup>۱</sup> (۳) می‌باشد. آن‌ها نیز کمترین میزان



شکل(۵) مقایسه میانگین اثر متقابل قطر ماکروپور و شوری بر عمق پیشینه انتقال ای کولای

Figure(5) Mean comparison of the interaction between the macropore diameter and salinity on the maximum depth of E.coli

بیشتر باکتری شد که این امر می‌تواند در کنترل آلودگی آب زیرزمینی با مدیریت آبیاری شور موثر باشد، به گونه‌ای که حداقل انتقال صورت گرفته و شرایط برای استفاده از منابع آب نامتعارف نیز ایجاد شود، بدون این که مشکل زیستمحیطی خطر آلودگی آب زیرزمینی را تهدید نماید.

### نتیجه گیری

تیمار موثر بر میانگین غلظت خروجی باکتری، ضریب پالایش باکتری، شاخص نسبی جذب باکتری و عمق پیشینه پیش‌بینی شده انتقال باکتری شوری بود، که بیان گر اثر قابل توجه شوری بر پالایش و انتقال باکتری است. نتایج پژوهش حاضر نشان داد که افزایش قدرت یونی محلول خاک، باعث افزایش میزان پالایش و حذف

### منابع

- Bradford, S.A., Bettahar, M., Šimůnek, J., and van Genuchten, M.Th. 2004. Straining and attachment of colloids in physically heterogeneous porous media. *Vadose Zone Journal*, 3: 384–394.
- Farokhian Firooz, A., Homari, M., Ervin, C., Roiu, K., and Sattari, M. 2011. Modeling transmission and maintenance of microbial contaminants in calcareous soils under saturated water flow in soil. *Soil and Water Sciences (Agriculture and Natural Resources Sciences and Technology)*, 15 (58): 53-68.
- Farhangi, M.B., Mosdeghi, M.R., Safari, A.A., and Mahboubi, A.A. 2012. E. coli bacteria from cattle manure in the soil released the unsaturated farm. *Journal of Science and Technology of Agriculture and Natura*, 10:15-27.

4. Hasanpur, H. 2010. Quantitative and qualitative traits of salt water over the herb fennel seeds. *Iranian Journal of Field Crop Science*, 6: 2.13-120. (In Persian).
5. Jiang, X., Morgan, J.A.W., and Doyle, M.P. 2002. Fate of Escherichia coli O157:H7 in manure amended soil. *Applied and Environmental Microbiology*, 68: 2605-2609.
6. Kiani, A. and Kalate, M. 2003. The effect of supplemental irrigation water in the atmosphere in Gorgan. *Journal of Agricultural Sciences and Natural Resources*, 10: 35-43. (In Persian)
7. Li, Q., Yang, Z.h., Chai, L.y., Wang, B., Xiong, S., Liao, Y.P., and Zhang, S.j. 2013 Optimization of Cr (VI) bioremediation in contaminated soil using indigenous bacteria. *Journal of Central South University*, 20, 480-487.
8. Mathess, G., Peckdeger, A., and Schroeder, J. 1988. Persistence and transport of bacteria and viruses in groundwater-a conceptual evaluation. *Journal of Contaminant Hydrology*, 2: 171-188.
9. McDowell-Boyer L.M., Hunt, J.R. and Sitar, N. 1986. Particle transport through porous media. *Water Resources Research*, 22: 1901–1921.
10. Pakparvar, M. and Saadat, Y.A. 2003. The effect of salt water on the distribution of solute clay soil salinity resistant crop varieties. *Research Journal of Grassland and Desert Iran*, 10: 3. 357-379. (In Persian)
11. , A., Mahboubi, A.A., Mosaddeghi, M.R., Gharabaghi, B., Unc, A., Voroney, P., and Heydari, A. 2012. Effect of regenerated soil structure on unsaturated transport of Escherichia coli and bromide. *Journal of Hydrology*, 430-431: 80-90.
12. Safadoust, A., Mahboubi, A.A., Mosadeghi, M.R., Khodakaramian, Gh., and Heidari, A. 2011. Moving E. coli bacteria in soil columns under different temperature and flow conditions. *Journal of Soil and Water Sciences and Technology of Agriculture and Natural Resources*. 15: 57. 183-197. (In Persian)
13. Shirani, H., Shrani, S., Sayyad, G., and Jafarnezhadi, A.R. 2011. The effect of salinity on the leaching of water movement in soil bacteria. The third National Conference on Management of irrigation networks and drainage. Shahid Chamran University of Ahvaz.
14. Unc, A. and Goss, M.J. 2003. Movement of faecal bacteria through the vadose zone. *Water, Air, and Soil Pollution*, 149:1-4. 327-337.
15. Wang, Y., Bradford, S.A., and Šimůnek, J. 2014. Estimation and upscaling of dual-permeability model parameters for the transport of E. Coli D21g in soils with preferential flow. *Journal of Contaminant Hydrology*, 159: 57-66.
16. Wang, Y., Bradford, S.A., and Šimůnek, J. 2014. Physicochemical Factors Influencing the Preferential Transport of Escherichia coli in Soils. *Vadose Zone Journal*, 13:1-10.
17. Yao, K.M., Habibian, M.T., and O'Melia, C.R. 1971. Water and wastewater

filtration. Concepts and applications. Environmental Science and Technology, 5(11): 1105–1112.

18. McDowell-Boyer, L.M., Hunt, J.R. and Sitar N. 1986. Particle transport through porous media. Water Resources Research, 22: 1901–1921.